

PEMODELAN DINDING GESER PADA GEDUNG SIMETRI

Nini Hasriyani Aswad

Staf Pengajar Jurusan Teknik Sipil

Fakultas Teknik Universitas Haluoleo

Kampus Hijau Bumi Tridharma Anduonohu

Kendari 93721

niniaaswad@gmail.com

Abstrak

Dinding geser adalah salah satu teknik penanganan struktur bangunan yang dapat menahan beban gempa. Karakteristik tentang perilaku struktur bangunan yang mengalami beban gempa adalah struktur akan mengalami deformasi dan hal ini merupakan faktor penting dalam merencanakan bangunan tahan gempa.

Diharapkan dengan pemodelan struktur dengan dinding geser akan memberi kontribusi terhadap defleksi akibat gempa, yang mengacu pada Tata Cara Perhitungan Ketahanan Gempa Untuk Bangunan Gedung SNI 03-1726-2003.

Analisa pengaruh gempa rencana dapat ditinjau sebagai pengaruh beban gempa statik dan dinamik, sehingga menurut standar ini analisisnya dapat dilakukan berdasarkan analisis statik ekivalen dan analisis dinamik (*respon spectrum analysis*).

Prilaku menunjukkan bahwa deformasi yang terjadi pada struktur dengan dinding geser lebih kecil jika tidak menggunakan dinding geser. Struktur dengan dinding geser mampu meredam pengaruh gempa dibanding dengan struktur tanpa dinding geser.

Kata kunci: gempa, perilaku struktur, dan deformasi

PENDAHULUAN

Salah satu perhitungan gedung struktur adalah pendekatan mengenai bangunan tinggi yang tahan gempa adalah dengan membandingkan pengaruh dan prilaku struktur bangunan bertingkat yang tahan gempa dengan menggunakan dinding geser yang mengacu pada SNI 03–1726 –2003 khusus pada gedung bentuk yang simetri dengan menggunakan ETABS.

Tujuan dari penelitian ini adalah untuk membandingkan pengaruh beban gempa suatu struktur bangunan gedung bertingkat yang simetri dengan menggunakan dinding geser dan tanpa menggunakan dinding geser.

TINJAUAN PUSTAKA

Dalam perencanaan struktur tahan gempa, tiap elemen struktur didesain dengan berbagai ketentuan tertentu. Sama halnya terhadap dinding struktural yang merupakan sistem struktur atau bagian dari sistem yang memikul beban gempa seperti dinding geser. Dinding geser dari beton bertulang adalah elemen struktur vertikal yang biasa digunakan pada gedung bertingkat tinggi yang berfungsi untuk menahan gaya lateral yang berasal dari beban gempa dan angin. Struktur bangunan dengan dinding geser merupakan salah satu konsep solusi masalah gempa dalam bidang teknik sipil yaitu sebagai substruktur yang menahan gaya geser akibat gempa.

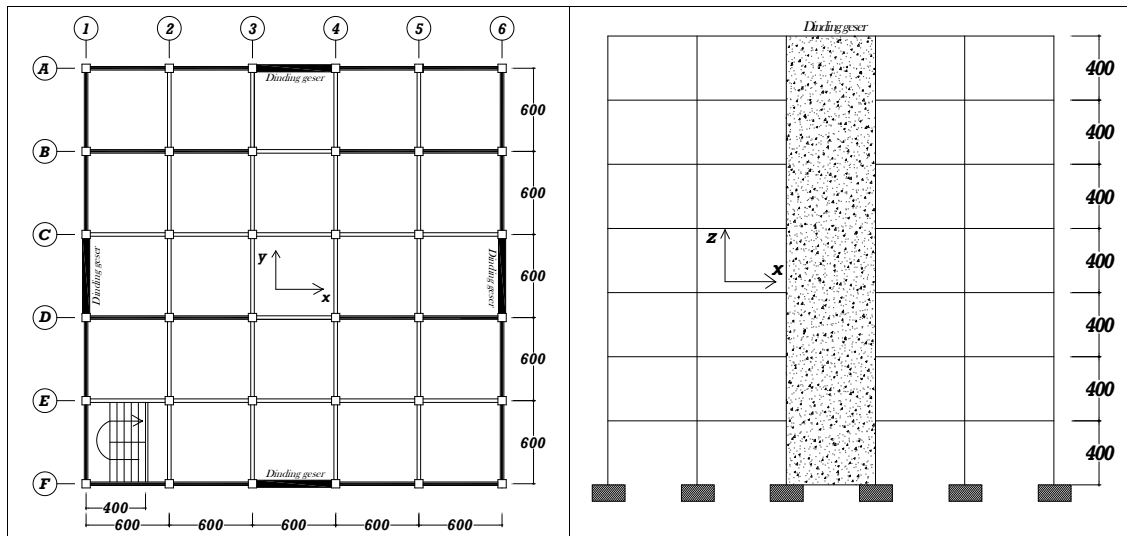
Hal yang perlu diperhatikan dalam perencanaan dinding geser yaitu bahwa dinding geser tidak boleh runtuh akibat gaya geser. Hal ini disebabkan oleh fungsi utama dinding geser yaitu sebagai penahan gaya geser yang besar akibat gempa, sehingga apabila dinding geser runtuh akibat gaya geser itu sendiri maka otomatis keseluruhan struktur akan runtuh karena sudah tidak ada lagi yang menahan gaya geser tersebut. Dinding geser hanya boleh

runtuh akibat adanya momen plastis yang menyebabkan timbulnya sendi plastis pada bagian dasar dinding.

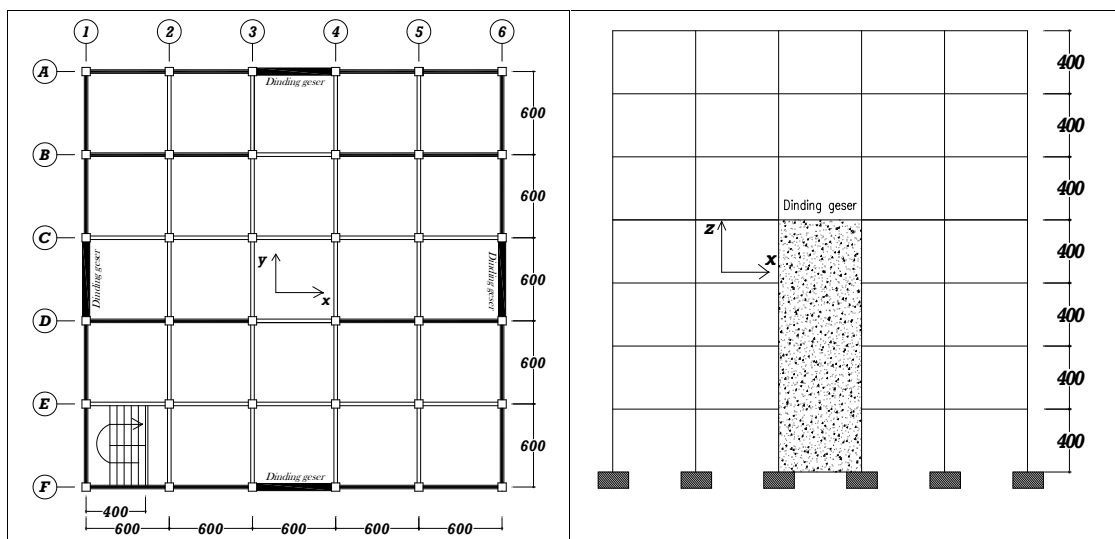
Suatu dinding dikategorikan ke dalam dinding geser jika gaya geser rencana melebihi $(1/12)A_{cv} \sqrt{fc}$. Jika kurang dari nilai tersebut maka dinding tersebut dianggap hanya sebagai dinding penumpu (memikul beban gravitasi). Rasio penulangan pada dinding geser yaitu ..._v (penulangan arah vertikal) dan ..._n (penulangan arah horizontal) tidak boleh kurang dari 0,0025. Selain itu dicek apakah dibutuhkan *boundary element* yaitu apabila $f_{max} > 0,2 f_c$.

METODE PERENCANAAN

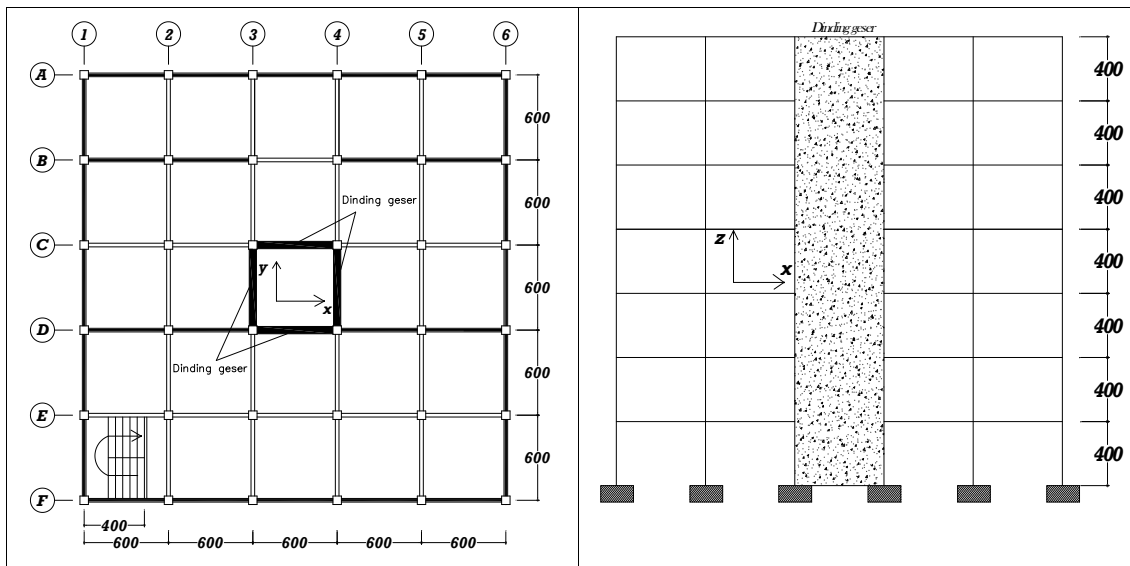
Ilustrasi pemodelan denah gedung dengan menggunakan dinding geser adalah sebagai berikut :



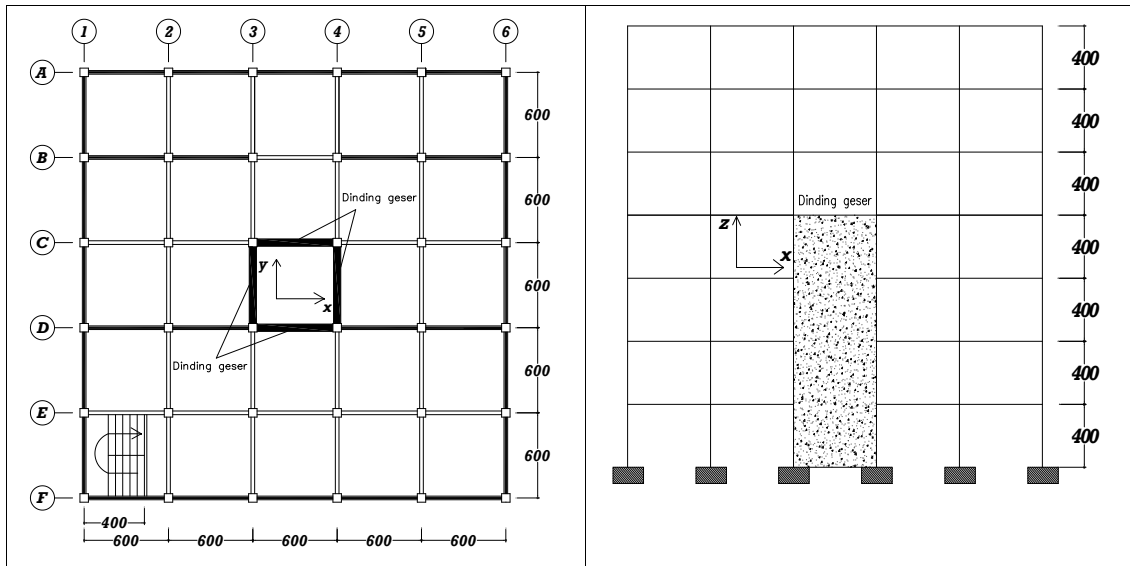
Gambar 1. Denah dan tampak dinding geser model 1



Gambar 2. Denah dan tampak dinding geser model 2



Gambar 3. Denah dan tampak dinding geser model 3



Gambar 4. Denah dan tampak dinding geser model 4

HASIL DAN PEMBAHASAN

Perencanaan dan desain

1. Mutu Bahan

- $f'_c = 25 \text{ MPa} = 25 \text{ N/mm}^2$
- $f_y = 400 \text{ MPa} = 400 \text{ N/mm}^2$

2. Modulus elastisitas

- Modulus elastisitas beton

$$E_c = 4700 \sqrt{f'_c} = 23500 \text{ MPa} = 23500 \text{ N/mm}^2$$

- Modulus elastisitas baja

$$E_s = 200000 \text{ MPa} = 200000 \text{ N/mm}^2$$

3. Kategori gedung sebagai gedung perkantoran

4. Beban hidup

- Lantai = 250 Kg/m²

- Atap = 100 Kg/m²
5. Beban mati
- Berat volume beton = 2400 Kg/m³
 - Spesi = 21 Kg/m²
 - Tegel = 24 Kg/m²
 - Plafond + penggantung = (11 + 7) Kg/m² = 18 Kg/m²
 - Instalasi listrik = 20 Kg/m²
 - Berat penutup lantai = 24 Kg/m²
 - Dinding = 250 kg/m²
6. Beban gempa pada wilayah zona 4 yaitu : kondisi tanah sedang
7. Ukuran / dimensi elemen-elemen struktur pada gedung yaitu :
- Tebal Pelat = 120 mm
 - Balok = 400 mm x 600 mm
 - Kolom = 600 mm x 600 mm
 - Tebal dinding geser = 300 mm

Hasil Dari Elemen Struktur Dengan Menggunakan Etabs

Tabel 1. Berat Total Struktur Bangunan

Story	Berat struktur bangunan (Kg)				
	Tanpa dinding geser	Dengan dinding geser I	Dengan dinding geser II	Dengan dinding geser III	Dengan dinding geser IV
7	675350.888	1226238.619	1183594.558	1238238.619	1183594.558
6	868709.206	1516581.685	1427143.379	1540581.684	1427143.379
5	878238.686	1526111.164	1436672.859	1550111.164	1436672.859
4	878238.686	1526111.164	1493842.557	1550111.164	1505842.557
3	878238.686	1526111.164	1526111.164	1550111.164	1550111.164
2	878238.686	1526111.164	1526111.164	1550111.164	1550111.164
1	878238.686	1526111.164	1526111.164	1550111.164	1550111.164
Total	5935253.524	10373376.125	10119586.846	10529376.124	10203586.846

Analisa beban gempa statik ekivalen

$$T_1 = 6.3 \sqrt{\frac{\sum_{i=1}^n W_i d_i^2}{g \sum_{i=1}^n F_i d_i}} \quad V = \frac{C_1 I}{R} x W_t$$

Besarnya T yang dihitung sebelumnya sesuai Pasal 6.2.2. tidak boleh menyimpang lebih dari 20% hasil T Rayleigh. Pertimbangan adanya retak sepanjang bentang komponen, maka komponen struktur direduksi Momen Inersianya sebagai berikut:

- Untuk balok T = 75% x I_g = 0.75 I_g
- Untuk kolom persegi = 75% x I_g = 0.75 I_g
- Untuk dinding geser = 60% x I_g = 0.60 I_g

Rumus Empiris menggunakan Method A dari UBC Section 1630.2.2.

Tinggi Gedung $h_n = 28 \text{ m}$

$C_t = 0.0731$

$$T = C_t (h_n)^{\frac{3}{4}} = 0.0731 \times (28)^{\frac{3}{4}} = 0.8897 \text{ detik}$$

Kontrol Pembatasan T sesuai dengan Pasal 5.6. SNI-1726-2003 Hal. 22

Struktur gedung yang direncanakan berada pada Wilayah Gempa 4 sehingga diperoleh nilai sesuai Tabel 7 SNI 03-1726-2003 Hal. 22 adalah :

$$= 0.102$$

$n = 7$

sehingga

$$T_1 = .n = 0.102 \times 7 = 0.714 \text{ detik}$$

Cek :

T empiris > T_1

0.8897 > 0.714 , karena T empiris lebih besar dari T_1 maka dalam perhitungan gaya gempa rencana digunakan adalah 0.714 detik.

Hasil ditunjukkan pada tabel, sebagai berikut :

Tabel 2. Beban geser dasar nominal statik ekivalen V

C	I	V				
		Tanpa dinding geser R = 5.5	Dengan dinding geser R = 6.5			
			I	II	III	IV
0.588235	1.0	634786.473	938767.0701	915799.7145	952884.7171	923401.5245

Tabel 3. Analisa T Rayleigh akibat gempa

Tanpa dinding geser	$1.389 + 20\% \times 1.389 = 1.666 \text{ detik}$
Dengan dinding geser I	$1.016 + 20\% \times 1.016 = 1.220 \text{ detik}$
Dengan dinding geser II	$1.073 + 20\% \times 1.073 = 1.288 \text{ detik}$
Dengan dinding geser III	$0.884 + 20\% \times 0.884 = 1.061 \text{ detik}$
Dengan dinding geser IV	$0.953 + 20\% \times 0.953 = 1.144 \text{ detik}$

Dari hasil analisa $T_{Rayleigh}$ dari kelima model menunjukkan lebih besar dari $T_1 = 0.714 \text{ detik}$ hasil lebih kecil , maka T_1 hasil empiris yang dihitung di atas memenuhi ketentuan Pasal 6.2.2. SNI03-1726-2003.

Tabel 4. Gaya gempa tiap lantai dengan $T_1 = 0.714$ tanpa dinding geser

Story	Z_i (m)	W_i (Kg)	$W_i \times Z_i$	V (Kg)	$W_i \times Z_i \times V$	$F_{x,y}$	
						(Kg N)	
1	2	3	4	5	6	7	8
7	28	675350.8881	18909824.87	634786.473	12003701035276.800	129835.477	1273251.081
6	24	868709.2063	20849020.95		13234676478909.100	143150.061	1403822.544
5	20	878238.686	17564773.72		11149880762567.700	120600.312	1182685.048
4	16	878238.686	14051818.98		8919904610054.130	96480.249	946148.038
3	12	878238.686	10538864.23		6689928457540.590	72360.187	709611.029
2	8	878238.686	7025909.488		4459952305027.060	48240.125	473074.019
1	4	878238.686	3512954.744		2229976152513.530	24120.062	236537.010
TOTAL		5935253.524	92453166.977				

Tabel 5. Gaya gempa tiap lantai dengan $T_1 = 0.714$ dengan dinding geser I

Story	Z_i (m)	W_i (Kg)	$W_i \times Z_i$	V (Kg)	$W_i \times Z_i \times V$	F x,y	
						(Kg)	(N)
I	2	3	4	5	6	7	8
7	28	1226238.619	34334681.34	938767.0701	32232268203971.700	198597.689	1985976.889
6	24	1516581.685	36397960.43		34169206670193.200	210532.049	2105320.493
5	20	1526111.164	30522223.29		28653258127481.800	176545.777	1765457.773
4	16	1526111.164	24417778.63		22922606501985.500	141236.622	1412366.218
3	12	1526111.164	18313333.97		17191954876489.100	105927.466	1059274.664
2	8	1526111.164	12208889.31		11461303250992.700	70618.311	706183.109
1	4	1526111.164	6104444.657		5730651625496.360	35309.155	353091.555
TOTAL		10373376.125	162299311.622				

Tabel 6. Gaya gempa tiap lantai dengan $T_1 = 0.714$ dengan dinding geser II

Story	Z_i (m)	W_i (Kg)	$W_i \times Z_i$	V (Kg)	$W_i \times Z_i \times V$	F x,y	
						(Kg)	(N)
I	2	3	4	5	6	7	8
7	28	1183594.558	33140647.61	915799.7145	30350195623562.600	193740.695	1937406.945
6	24	1427143.379	34251441.1		31367459981886.000	200234.409	2002344.090
5	20	1436672.859	28733457.18		26314091881555.900	167976.197	1679761.969
4	16	1493842.557	23901480.91		21888969395809.600	139728.395	1397283.954
3	12	1526111.164	18313333.97		16771346022732.100	107060.009	1070600.093
2	8	1526111.164	12208889.31		11180897348488.100	71373.340	713733.396
1	4	1526111.164	6104444.657		5590448674244.030	35686.670	356866.698
TOTAL		10373376.125	156653694.747				

Tabel 7. Gaya gempa tiap lantai dengan $T_1 = 0.714$ dengan dinding geser III

Story	Z_i (m)	W_i (Kg)	$W_i \times Z_i$	V (Kg)	$W_i \times Z_i \times V$	F x,y	
						(Kg)	(N)
I	2	3	4	5	6	7	8
7	28	1238238.619	34670681.32	952884.7171	33037162363650.900	200649.251	2006492.511
6	24	1540581.684	36973960.43		35231921819767.000	213978.993	2139789.928
5	20	1550111.164	31002223.28		29541544762073.900	179418.824	1794188.244
4	16	1550111.164	24801778.63		23633235809659.100	143535.060	1435350.595
3	12	1550111.164	18601333.97		17724926857244.300	107651.295	1076512.946
2	8	1550111.164	12400889.31		11816617904829.500	71767.530	717675.298
1	4	1550111.164	6200444.657		5908308952414.770	35883.765	358837.649
TOTAL		10529376.124	164651311.597				

Tabel 8. Gaya gempa tiap lantai dengan $T_1 = 0.714$ dengan dinding geser IV

Story	Z_i (m)	W_i (Kg)	$W_i \times Z_i$	V (Kg)	$W_i \times Z_i \times V$	$F_{x,y}$	
						(Kg)	(N)
1	2	3	4	5	6	7	8
7	28	1183594.558	33140647.61	923401.524	30602124528820.400	194395.852	1943958.523
6	24	1427143.379	34251441.1		31627832928142.000	200911.526	2009115.261
5	20	1436672.859	28733457.18		26532518162651.200	168544.229	1685442.290
4	16	1505842.557	24093480.92		22247957010710.500	141327.134	1413271.344
3	12	1550111.164	18601333.97		17176500145238.500	109111.391	1091113.914
2	8	1550111.164	12400889.31		11451000096825.700	72740.928	727409.276
1	4	1550111.164	6200444.657		5725500048412.840	36370.464	363704.638
TOTAL		10203586.846	157421694.751				

Analisis ragam spektrum respon

Dalam analisis ini, untuk menentukan respon dinamik struktur bangunan gedung yang dimodelkan dalam tiga dimensi dalam Program ETABS. Spektrum respons gempa rencana dalam analisa ini nilai ordinatnya dikalikan dengan faktor koreksi I/R, dimana I adalah faktor keutamaan ($I = 1$), sedangkan R adalah faktor reduksi gempa representatif dari struktur gedung ($R = 5.5$, struktur tanpa dinding geser dan $R = 6.5$, struktur dengan dinding geser). Dalam hal ini, jumlah ragam vibrasi yang ditinjau dalam penjumlahan respons ragam harus sedemikian rupa, sehingga partisipasi massa dalam menghasilkan respon total harus mencapai sekurang-kurangnya 90%. Nilai puncak gaya dalam, perpindahan, gaya geser tingkat dan gaya dasar setiap ragam yang ditinjau dikombinasikan dengan metode CQC (*Complete Quadratic Combination*)

Tabel 9. Reaksi gaya dasar struktur tanpa dinding geser
(belum dikoreksi)

Input Case	Case Type	Global		
		Fx (Kg)	Fy (Kg)	Fz (Kg)
1	2	3	4	5
eqx	Spectrum	418010.610	54314.630	464413.200
eqy	Spectrum	54091.990	422574.200	472840.510

Sumber : Data olahan

Tabel 10. Reaksi gaya dasar struktur dengan dinding geser I
(belum dikoreksi)

Input Case	Case Type	Global		
		Fx (Kg)	Fy (Kg)	Fz (Kg)
1	2	3	4	5
eq _x	LinResSpec	574060.220	54138.740	2492929.320
eq _y	LinResSpec	55551.200	576465.420	2508898.300

Sumber : Data olahan

Tabel 11. Reaksi gaya dasar struktur dengan dinding geser II
(belum dikoreksi)

Input Case	Case Type	Global		
		Fx (Kg)	Fy (Kg)	Fz (Kg)
1	2	3	4	5
eq _x	LinResSpec	507661.250	54144.310	2176575.260
eq _y	LinResSpec	54621.990	510180.800	2193364.990

Sumber : Data olahan

Tabel 12. Reaksi gaya dasar struktur dengan dinding geser III
(belum dikoreksi)

Input Case	Case Type	Global		
		Fx (Kg)	Fy (Kg)	Fz (Kg)
1	2	3	4	5
eq _x	LinResSpec	751057.620	300355.240	2965655.460
eq _y	LinResSpec	305457.770	758005.200	2968503.330

Sumber : Data olahan

Tabel 13. Reaksi gaya dasar struktur dengan dinding geser IV
(belum dikoreksi)

Input Case	Case Type	Global		
		Fx (Kg)	Fy (Kg)	Fz (Kg)
1	2	3	4	5
eq _x	LinResSpec	624574.450	244574.970	2189652.110
eq _y	LinResSpec	249538.100	631341.570	2194984.030

Tabel 14. Reaksi gaya dasar struktur tanpa dinding geser (setelah dikoreksi)

Input Case	Case Type	Global		
		Fx (Kg)	Fy (Kg)	Fz (Kg)
1	2	3	4	5
eq _x	LinResSpec	508010.420	66008.830	564403.790
eq _y	LinResSpec	65028.380	508010.480	568439.610

Tabel 15. Reaksi gaya dasar struktur dengan dinding geser I
(setelah dikoreksi)

Input Case	Case Type	Global		
		Fx (Kg)	Fy (Kg)	Fz (Kg)
1	2	3	4	5
eq _x	LinResSpec	751025.110	70828.030	3261421.970
eq _y	LinResSpec	72372.690	751025.170	3268618.790

Tabel 16. Reaksi gaya dasar struktur dengan dinding geser II
(setelah dikoreksi)

Input Case	Case Type	Global		
		Fx (Kg)	Fy (Kg)	Fz (Kg)
1	2	3	4	5
eq _x	LinResSpec	732650.960	78140.480	3141208.860
eq _y	LinResSpec	78440.510	732650.970	3149806.920

Tabel 17. Reaksi gaya dasar struktur dengan dinding geser III
(setelah dikoreksi)

Input Case	Case Type	Global		
		Fx (Kg)	Fy (Kg)	Fz (Kg)
1	2	3	4	5
eq _x	LinResSpec	762319.440	304858.940	3010124.290
eq _y	LinResSpec	307196.290	762319.400	2985398.760

Tabel 18. Reaksi gaya dasar struktur dengan dinding geser IV
(setelah dikoreksi)

Input Case	Case Type	Global		
		Fx (Kg)	Fy (Kg)	Fz (Kg)
1	2	3	4	5
eq _x	LinResSpec	738732.530	289277.710	2589870.880
eq _y	LinResSpec	291984.430	738732.520	2568349.920

Simpangan Struktur (*Displacement*)

Tabel 19. Simpangan struktur akibat beban gempa Eqx (Statik Ekivalen)

Story	Tanpa dinding geser	Dengan dinding geser I	Dengan dinding geser II	Dengan dinding geser III	Dengan dinding geser IV
	(mm)	(mm)	(mm)	(mm)	(mm)
7	80.850	42.841	49.360	31.988	40.673
6	76.801	36.716	43.799	27.135	35.015
5	68.782	29.657	32.989	21.811	24.280
4	57.309	22.287	20.520	16.340	12.560
3	43.077	14.929	13.731	10.993	8.260
2	26.949	8.208	7.668	6.156	4.588
1	10.510	2.868	2.711	2.277	1.615

Tabel 20. Simpangan struktur akibat beban gempa Eqy (Statik Ekivalen)

Story	Tanpa dinding geser	Dengan dinding geser I	Dengan dinding geser II	Dengan dinding geser III	Dengan dinding geser IV
	(mm)	(mm)	(mm)	(mm)	(mm)
7	81.301	42.924	49.444	32.650	40.888
6	77.221	36.807	43.866	27.787	35.212
5	69.160	29.713	33.045	22.410	24.465
4	57.630	22.334	20.598	16.852	12.765
3	43.328	14.962	13.753	11.390	8.375
2	27.117	8.229	7.689	6.418	4.676
1	10.580	2.875	2.718	2.391	1.654

Tabel 21. Simpangan struktur akibat beban gempa Eqx (Respon Spektrum)

Story	tanpa dinding geser	dengan dinding geser I	dengan dinding geser II	dengan dinding geser III	dengan dinding geser IV
	(mm)	(mm)	(mm)	(mm)	(mm)
7	63.010	33.277	40.513	26.302	35.069
6	59.971	28.452	35.581	22.935	30.547
5	54.004	22.913	26.261	18.966	22.276
4	45.569	17.189	16.090	14.727	13.596
3	34.950	11.517	10.794	10.387	9.630
2	22.399	6.350	6.041	6.196	5.911
1	8.935	2.235	2.145	2.450	2.394

Tabel 22. Simpangan struktur akibat beban gempa Eqy (Respon Spektrum)

Story	tanpa dinding geser	dengan dinding geser I	dengan dinding geser II	dengan dinding geser III	M geser IV
	(mm)	(mm)	(mm)	(mm)	(mm)
7	63.130	33.423	40.802	26.168	34.857
6	60.091	28.598	35.831	22.845	30.387
5	54.123	23.015	26.431	18.902	22.205
4	45.687	17.268	16.206	14.692	13.627
3	35.057	11.571	10.846	10.374	9.638
2	22.484	6.383	6.077	6.197	5.926
1	8.974	2.246	2.157	2.450	2.397

KESIMPULAN

Analisis struktur dengan dinding geser dengan menggunakan program ETABS 9.2, maka dapat dijabarkan sebagai berikut :

1. Elemen struktur dengan dinding geser mampu meredam dan menunjukkan displacement yang lebih kecil dibanding dengan elemen struktur tanpa menggunakan dinding geser terdapat pada pemodelan 3 dengan didinding geser terdapat pada tengah gedung yang simetris.
2. Persentase displacement maksimum baik analisis static maupun dinamik, struktur dengan dinding geser telah meredam simpangan akibat beban lateral ± 23%.
3. Perlu diperhatikan bahwa untuk struktur dengan dinding geser 3 memiliki displacement yang lebih kecil, namun menunjukkan kekhawatiran dan sangat tidak nyaman bagi penghuni ketika terjadi gempa karena hasil vibrasi ragam pertama dominan dalam arah rotasi
4. Struktur yang lebih efektif dan stabil seperti yang disyaratkan oleh SNI adalah struktur dengan dinding geser I, hal ini dapat dilihat dari hasil vibrasi yang dominan dalam arah translasi dengan periode getar yang lebih kecil dari struktur yang lain serta hasil displacement pun juga tidak jauh lebih kecil dari struktur dinding geser III
5. Model struktur dinding geser I adalah kokoh dapat mengimbangi seluruh arah gempa walaupun displesmen yang diberikan lebih sekitar 7 mm lebih besar dari model 3.
6. Nilai interstory drift yang diberikan pada struktur akibat displacement maksimum oleh beban gempa, menunjukkan bahwa struktur dengan dinding geser memiliki kemampuan yang lebih jauh dalam menahan beban lateral sesuai dengan kinerja batas syarat yang ditetapkan dalam SNI-03-1726-2003

Daftar Pustaka

- Andrianto, H. R., 2007, *Analisis struktur gedung dengan ETABS 9.0.7*, Elex Media Komputindo, Jakarta.
- Badan Standarisasi Nasional, 2002, *Tata Cara Perhitungan Struktur Beton Untuk Bangunan Gedung SK SNI 03–2847–2002*, Bandung.
- Chopra, Anil K., 1995, *Dynamics of Structures – Theory and Applications to Earthquake Engineering*, Prentice-Hall, Inc., New Jersey.
- Departemen Perumukiman dan Prasarana Wilayah, 2003, *Standar Perencanaan Ketahanan Gempa Untuk Struktur Bangunan Gedung SNI–1726–2003*, Bandung.
- Direktorat Penyelidikan Masalah Bangunan, 1983, *Peraturan Pembebatan Indonesia Untuk Gedung 1983*, Yayasan Lembaga Penyelidikan Masalah Bangunan, Bandung.
- Muto, K., 1993, *Analisis Perancangan Gedung Tahan Gempa*, Erlangga, Jakarta.
- Paulay, T., & M. J. N. Priestley, 1992, *Seismic Design of Reinforced Concrete and Masonry Buildings*, John Wiley & Sons, Inc., USA.
- Paz, Mario., 1996, *Dinamika Struktur Edisi Kedua*, Erlangga, Jakarta.
- Schueller, W. 1989, *Struktur dan Bangunan Ber tingkat Tinggi*, Eresco, Bandung.
- Yuliari, E., & Suhelda, 2008, *Evaluasi Perbandingan Konsep Desain Dinding Geser Tahan Gempa Berdasarkan SNI Beton*, Prodi S-1 Teknik Sipil, Institut Teknologi Bandung.

